

*Письма в ЖЭТФ, том 16, вып. 7, стр. 414–417*

5 октября 1972 г.

## ДИАГРАММНЫЙ К-МАТРИЧНЫЙ ПОДХОД К $\rho_\alpha$ -РАССЕЯНИЮ

*А. Г. Барышников, Л. Д. Блохинцев, А. Н. Сафонов*

*В. В. Туровцев*

В последние годы широкое применение в теории ядерных реакций нашли диаграммные и дисперсионные методы (см, например, [1,2]). Общую основу этих методов составляет предположение о том, что амплитуда реакции  $M$  является аналитической функцией кинематических переменных (угла рассеяния, энергии) и что основной вклад в  $M$  дают ближайшие к физической области ее особенности по этим переменным. В случае бинарных реакций ( $A + x \rightarrow B + y$ ) предположение о доминирующей роли ближайших особенностей заведомо справедливо для парциальных амплитуд  $M$  с достаточно большими значениями  $\ell$  [3], однако для малых  $\ell$  оно может не выполняться; использование этого предположения при малых  $\ell$  может приводить, в частности, к серьезным нарушениям соотношения унитарности. Одним из способов обеспечения унитарности является применение формализма  $K$ -матрицы реакции, связанной с  $S$ -матрицей соотношением:

$$S = \left(1 - \frac{i}{2} K\right) / \left(1 + \frac{i}{2} K\right). \quad (1)$$

При любой эрмитовой матрице  $K$   $S$ -матрица автоматически оказывается унитарной.<sup>1)</sup>

Рассмотрим одноканальный случай чисто упругого рассеяния нерелятивистских бесспиновых частиц:  $A + x \rightarrow A + x$ . Тогда, полагая

$$M(E, z) = \sum_{\ell=0}^{\infty} (2\ell+1) M_\ell(E) P_\ell(z), \quad K(E, z) = \sum_{\ell=0}^{\infty} (2\ell+1) K_\ell(E) P_\ell(z) \quad (2)$$

( $z = \cos \theta$ ,  $E$  и  $\theta$  – кинетическая энергия и угол рассеяния в Ц-системе), из формулы (1) легко получить:

$$M_\ell = K_\ell / (1 + i \mu p K_\ell / 2\pi), \quad (3)$$

$\mu$  и  $p$  – приведенная масса и относительный импульс сталкивающихся частиц<sup>1)</sup>.

Нормировка амплитуды  $M(E, z)$  определяется соотношением:

$$d\sigma / d\Omega = (\mu / 2\pi)^2 / M(E, z)^2 \quad (4)$$

$d\sigma / d\Omega$  – дифференциальное сечение рассеяния.  $K$ -матрица первоначально определяется лишь в физической области реакции. Однако с помощью соотношений (1), (3) ее можно аналитически продолжить и в нефизическую область. При этом, рассматривая формулу (3) при  $\ell \rightarrow \infty$  и используя результаты работы [3], нетрудно убедиться, что если  $M(E, z)$  имеет особенность по  $z$  при  $z = z_0$ , то и  $K(E, z)$  имеет особенность при  $z = z_0$ . В частности, если  $M(E, z)$  имеет полюс по  $z$ , то и  $K(E, z)$  имеет полюс по  $z$  в той же точке и стем же вычетом. Поэтому, действуя в духе дисперсионного подхода и желая в то же время обеспечить унитарность, естественно предположить, что  $K$ -матрица определяется вкладом от ближайших к физической области особых точек в  $z$ -плоскости, являющихся особенностями амплитуд простейших фейнмановских диаграмм.

Применим эти соображения к упругому  $\rho\alpha$ -рассеянию на большие углы при энергиях ниже порога разрыва  $\alpha$ -частицы. В этом случае ближайшей к границе физической области ( $z = -1$ ) особой точкой является полюс, отвечающий механизму передачи тритона (рис. 1); остальные особенности расположены существенно дальше. Выбирая в качестве  $K(E, z)$  амплитуду диаграммы рис. 1, получаем<sup>2)</sup>:

$$K(E, z) = -m_t G^2 / [2p^2(z + \zeta)], \quad K_\ell(E) = (-1)^{\ell+1} m_t G^2 Q_\ell(\zeta) / 2p^2, \quad (5)$$

<sup>1)</sup> Здесь и в дальнейшем  $\hbar = c = 1$ .

<sup>2)</sup> Наличие спина у протона приводит в данном случае лишь к появлению тривиального множителя  $\delta_{\mu_i \mu_f}$ , который мы опускаем ( $\mu_i$  ( $\mu_f$ ) – проекция спина протона в начальном (конечном) состоянии).

$$\text{где } \zeta = \frac{1}{2} \left( m_\alpha / m_p + m_p / m_\alpha \right) + m_t \epsilon / p^2, \quad \epsilon = m_t + m_p - m_\alpha$$

$m_i$  — масса частицы  $i$ ,  $Q_\ell(\zeta)$  — функция Лежандра второго рода,  $G \equiv G_{\alpha t p}$  — вершинная константа [4] для вершины  $\alpha \rightarrow t + p$ .

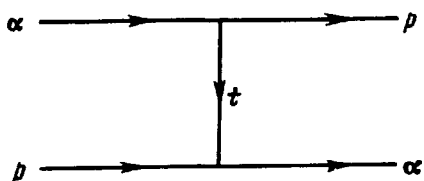


Рис. 1. Полюсная диаграмма для  $p\alpha$ -рассеяния.

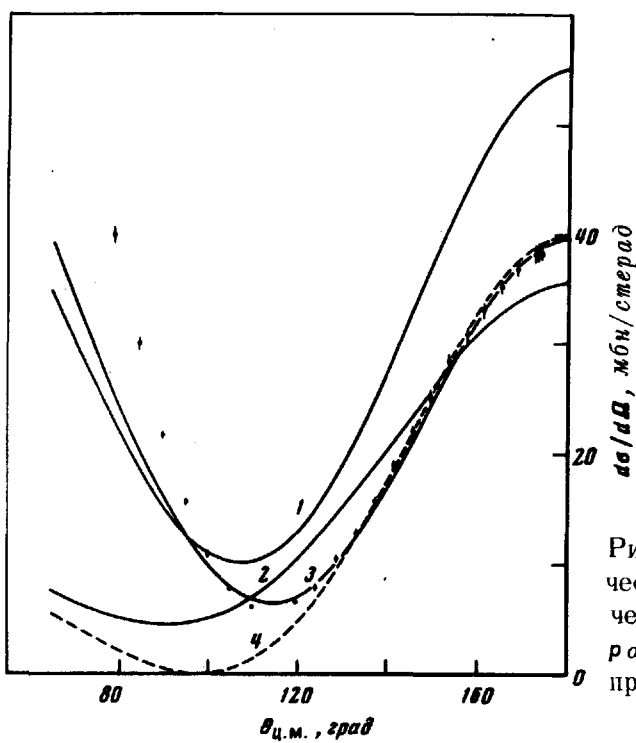


Рис. 2. Сравнение теоретических дифференциальных сечений с экспериментом для  $p\alpha$ -рассеяния при энергии протонов  $20,62 \text{ MeV}$

Расчеты дифференциального сечения упругого  $p\alpha$ -рассеяния были проведены для различных энергий и при разных значениях константы  $G$ . В качестве примера на рис. 2 представлены теоретические кривые и экспериментальные точки [5] для дифференциального сечения упругого  $p\alpha$ -рассеяния при энергии падающих протонов  $20,62 \text{ MeV}$ . Кривая 1 на рис. 2 получена с помощью формул (2) — (5) при  $G^2 = 7 \phi$ . Мы видим, что хотя эта кривая качественно воспроизводит ход экспериментального сечения, количественное согласие отсутствует. Причина такого расхождения лежит, по-видимому, в том, что при малых  $\ell$ , особенно при  $\ell = 0$ , в парциальные амплитуды могут давать заметный вклад более далекие, чем полюсная, особенности, отвечающие другим механизмам. Этот вклад можно приближенно учесть, прибавив к парциальной  $S$ -амплитуде  $M_0$  комплексную константу и подогнав ее методом

$\chi^2$ . Рассчитанная таким способом кривая 3 на рис. 2 хорошо описывает экспериментальные данные при  $\theta \geq 100^\circ$ . Заметим, что результаты расчетов чувствительны к значению  $G^2$ , причем наилучшее согласие с экспериментом достигается при  $G^2 = 7\phi$ . Иллюстрацией этого факта может служить кривая 2, рассчитанная таким же способом, что и кривая 3, но с  $G^2 = 4\phi$ ; она заметно отклоняется от экспериментальных точек. Неплохое согласие теории с экспериментом при том же значении  $G^2 = 7\phi$  имеет место и при других значениях энергии протона.

Для сравнения на рис. 2 приведены также результаты расчетов дифференциального сечения  $\rho\alpha$ -рассеяния при  $20,62 \text{ MeV}$  в рамках периферийной модели с полюсным механизмом [2, 6] (пунктирная кривая 4). Мы видим, что предлагаемый подход в рамках того же полюсного механизма позволяет улучшить согласие теории с экспериментом по сравнению с периферийной моделью. Интересно отметить, что и в случае периферийной модели наилучшее описание эксперимента достигается при  $G^2 = 7\phi$ . Это значение  $G^2$  согласуется с результатами анализа реакции  $\text{He}^3(d, p)\text{He}^4$  в рамках периферийной модели [2] ( $G^2 = 7,1\phi$ ), оно несколько ниже величины  $G^2 = 11,3\phi$ , полученной в работе [7] для константы изотопически подобного процесса  $\alpha \rightarrow r + n$  путем применения дисперсионных соотношений для амплитуды упругого  $n\alpha$ -рассеяния вперед. Вершинная константа  $G_{ABC}$  для распада (синтеза) по каналу  $A \rightarrow B + C$  связана с коэффициентом в асимптотике волновой функции данного канала и несет важную спектроскопическую информацию; в отличие от обычно используемой приведенной ширины  $\theta$  ее определение не содержит такой модельной величины как радиус канала.

Институт ядерной физики  
Московского  
государственного университета  
им. М.В.Ломоносова

Поступила в редакцию  
21 июля 1972 г.

## Литература

- [1] И.С.Шапиро. Теория прямых ядерных реакций. М., Госатомиздат, 1963 г.; УФН, 92, 549, 1967.
- [2] Э.И.Долинский. Изв. АН СССР, сер. физ., 34, 167, 1970.
- [3] В.С.Попов. ЖЭТФ, 47, 2229, 1964.
- [4] М.М.Аль-Байдови, Л.Д.Блохиццев, Э.И.Долинский, В.В.Туровцев. Вестник МГУ, сер. физ.-астр., №6, 3, 1967.
- [5] P. W. Allison, R. Smythe. Nucl. Phys., A121, 97, 1968.
- [6] И.Борбей, Э.И.Долинский, В.В.Туровцев. ЯФ, 8, 492, 1968.
- [7] M. P. Locher. Nucl. Phys., B36, 634, 1972.